

СПЕКТРАЛЬНЫЙ АНАЛИЗ РЕЧЕВЫХ СИГНАЛОВ
С ПОМОЩЬЮ ЭВМ

Г.Я. Воломин

Методика обмена устной информацией между человеком и вычислительными системами предусматривает использование сложного комплекса параметров речевого сигнала [1]. В настоящее время можно считать установленным, что спектральные параметры являются решающими для автоматического распознавания сигналов речи. Применение ЭВМ для спектрального анализа целесообразно в тех случаях, когда:

- а) время, затрачиваемое на расчет спектральной функции, мало по сравнению с общим временем анализа звуков речи на ЭВМ;
- б) необходимо использование фильтров с такими временными и частотными характеристиками, которые недостижимы в реальных резонансных системах с потерями;
- в) требуется частое изменение параметров фильтра или подбор фильтра с оптимальными параметрами.

При спектральном анализе речевых сигналов на ЭВМ возникает вопрос о методе вычисления спектра и о погрешностях, связанных с особенностями этого метода.

Можно выделить три основных метода расчета энергетического спектра.

I. Непосредственный частотный анализ с помощью преобразования Фурье:

$$S_t(\omega) = \int_0^{t+T} f(t) e^{-j\omega t} dt, \\ \Phi_t^2(\omega) = S_t(\omega) \cdot S_t^*(\omega),$$

где $S_t(\omega)$ - мгновенный комплексный спектр сигнала,
 $f(t)$ - исследуемый сигнал,
 $\Phi_t^2(\omega)$ - энергетический спектр,
 $S_t^*(\omega)$ - спектральная функция, сопряженная с $S_t(\omega)$.

2. Линейное преобразование исходной функции $f(t)$

$$F(t) = \int_{-\infty}^{+\infty} f(t+\theta) \cdot \varphi(\theta) d\theta,$$

где $F(t)$ - преобразованная функция,
 $\varphi(\theta)$ - преобразующая функция.

Эта операция эквивалентна пропусканию сигнала через фильтр с параметрами, определяемыми преобразующей функцией [2].

3. Корреляционно-спектральный анализ.

В этом случае расчет производится по формулам:

$$m = \lim_{T \rightarrow \infty} \frac{1}{T} \int_0^T f(t) \cdot dt,$$

$$f^i(t) = f(t) - m,$$

$$B(\tau) = \lim_{T \rightarrow \infty} \frac{1}{T} \int_0^T f^i(t) \cdot f^i(t+\tau) \cdot dt, \quad (I)$$

$$G(\omega) = \lim_{T_0 \rightarrow \infty} \frac{2}{\pi} \int_0^{T_0} B(\tau) \cos \omega \tau d\tau,$$

где m - математическое ожидание,
 $f^i(t)$ - центрированная функция,
 $B(\tau)$ - функция корреляции,
 $G(\omega)$ - спектральная функция.

Естественно предположить, что точность расчета спектральных функций по любому из перечисленных методов примерно одинакова, поэтому ограничимся рассмотрением только корреляционно-спектрального анализа.

В общем случае речевой сигнал представляет собой нестационарный случайный процесс. Для изучения динамики спектральных параметров необходимо получать мгновенные спектры, т.е. спектры сигнала, время наблюдения которого ограничивается интервалом 20 мсек и меньше. Тогда нестационарный случайный сигнал, действующий в промежутке времени T , может быть сопоставлен с квазистационарным сигналом, функция корреляции и

спектральная функция которого совпадают соответственно со средней функцией корреляции и спектром средней мощности нестационарного сигнала [3, 4].

В связи с тем, что время наблюдения T ограничено, при анализе возникают погрешности. Случай, когда $T \gg \tau_{\text{эфф}}$, где $\tau_{\text{эфф}}$ — интервал корреляции, достаточно описан в литературе и в статье не рассматривается.

При $T \leq 20$ мсек длительность квазистационарной части голосовых (в частности, гласных) звуков, особенно при полном стиле произношения, много больше T , а тем более периода колебаний основного тона, который не превышает 10 мсек. Это значит, что сигнал практически оказывается гармоническим [5], а потому условие $T > \tau_{\text{эфф}}$ выполнить невозможно, а это влечет за собой специфические погрешности, значительно превосходящие погрешности при $T \gg \tau_{\text{эфф}}$. Поэтому для общей оценки точности корреляционно-спектрального анализа сигналов речи будем рассматривать худший случай, т.е. квазистационарные участки голосовых звуков.

Учитывая, что период колебаний основного тона много меньше длительности квазистационарного участка голосового звука, представим речевой сигнал в идеализированном виде:

$$f(t) = A_0 + \sum_{i=1}^n A_i \sin(\omega_i t + \varphi_i), \quad (2)$$

где A_0 — постоянная составляющая сигнала, A_i, ω_i, φ_i — амплитуда, частота и фаза i -й составляющей, соответственно,

$$\omega_i = i \omega_{0T},$$

$$i = 1, 2, 3, \dots$$

n — число гармоник основного тона,

ω_{0T} — круговая частота основного тона.

Определим погрешности, возникающие на каждом этапе расчета спектральной функции.

I. Погрешность нахождения постоянной составляющей (математического ожидания). Пусть

$$m = \frac{1}{T} \int f(t) dt = A_0 - \frac{1}{T} \sum_{i=1}^n \frac{A_i}{\omega_i} [\cos(\omega_i T + \varphi_i) - \cos \varphi_i]. \quad (3)$$

При $T \rightarrow \infty$ второе слагаемое стремится к нулю. Оно составля-

ет абсолютную погрешность δ_1 , обусловленную конечностью времени наблюдения T . Итак,

$$\delta_1 = \frac{1}{T} \sum_{i=1}^n \frac{A_i}{\omega_i} [\cos(\omega_i T + \varphi_i) - \cos \varphi_i]. \quad (4)$$

Ошибка будет максимальной в случае назальных смычных, так как энергия этих звуков сосредоточена в области низких частот. Для приближенной оценки погрешности заменим ω_i на ω_{0T} , определяемую соотношением

$$\int_0^{\omega_{0T}} G(\omega) d\omega = \int_{\omega_{0T}}^{\infty} G(\omega) d\omega. \quad (4a)$$

Тогда

$$\delta_1 = \frac{1}{T \cdot \omega_{0T}} \sum_{i=1}^n A_i [\cos(\omega_i T + \varphi_i) - \cos \varphi_i].$$

Выражение под знаком \sum в худшем случае может принимать значение полного размаха (т.е. огибающей) колебаний:

$$\delta_1 \leq \frac{1}{T \omega_{0T}} A_{\text{огиб.}}$$

Относительная погрешность

$$\epsilon_1 \leq \frac{1}{T \cdot \omega_{0T}} = \frac{T_{0T}}{2\pi \cdot T}.$$

Для квазистационарных участков назальных смычных $\omega_{0T} \approx 2\pi(400 \frac{1}{\text{сек}})$. Отсюда в худшем случае

$$\epsilon_1 \leq \frac{4 \cdot 10^{-4}}{T}, \quad (5)$$

где T — время наблюдения в секундах.

2. Погрешность расчета функции корреляции. Существует несколько способов приближенного вычисления функции корреляции [6]. Приведем некоторые из них:

а) Пусть $T = T_{\text{набл.}} - \tau_{\text{max}} = \text{const}$,

$$\text{тогда } B(\tau) \approx \frac{1}{T} \int_0^T f(t) \cdot f(t+\tau) dt. \quad (6)$$

В этом случае $0 < t+\tau \leq T_{\text{набл.}}$.

б) Время интегрирования T берется в зависимости от $T = T_{\text{набл.}} - \tau$, где $\tau > 0$,

$$B(\tau) \approx \frac{1}{T_{\text{набл.}} - \tau} \int_0^{T_{\text{набл.}} - \tau} f(t) \cdot f(t+\tau) dt. \quad (7)$$

в) Время интегрирования T берется равным $T_{\text{набл.}} - \tau$, а величина интеграла относится к $T_{\text{набл.}}$.

$$B(\tau) \approx \frac{1}{T_{\text{набл.}}} \int_0^{T_{\text{набл.}} - \tau} f(t) \cdot f(t + \tau) dt. \quad (8)$$

Способ интегрирования для нахождения $B(\tau)$ должен быть аналогичным способу нахождения математического ожидания функции:

$$B(\tau) \approx \frac{1}{\pi} \int_0^T f(t) \cdot f(t + \tau) dt.$$

В противном случае накапливаются дополнительные погрешности, на которых подробно останавливаются не будем (их можно определить, подставив (3) в (7) и (8)).

Допустим, что математическое ожидание определено с достаточно малой погрешностью, которой можно пренебречь. Тогда

$$m = A_o \text{ и } f(t) = \sum_{i=1}^n A_i \sin(\omega_i t + \varphi_i),$$

$$\begin{aligned} B(\tau) &\approx \frac{1}{\pi} \int_0^T \sum_{i=1}^n \left\{ A_i \sin(\omega_i t + \varphi_i) \cdot A_i \sin[\omega_i(t + \tau) + \varphi_i] \right\} dt + \\ &+ \frac{1}{\pi} \int_0^T \sum_{i,j=1}^n \left\{ A_i \sin(\omega_i t + \varphi_i) \cdot A_j \cdot \sin[\omega_j(t + \tau) + \varphi_j] \right\} dt + \frac{1}{\pi} \int_0^T \sum_{i,j=1}^n \left\{ A_i \sin(\omega_i t + \varphi_i) \times \right. \\ &\times \left. A_j \sin[\omega_j(t + \tau) + \varphi_j] \right\} dt = \sum_{i=1}^n B_i(\tau) + \sum_{i,j=1}^n B_{ij}(\tau) + \sum_{i,j=1}^n B_{ji}(\tau). \end{aligned} \quad (9)$$

Здесь $i \neq j$;

$B_i(\tau)$ - автокорреляционная функция i -ой составляющей;

$B_{ij}(\tau)$ и $B_{ji}(\tau)$ - взаимные корреляционные функции между i -ой и j -ой составляющими.

Рассмотрим первое слагаемое в выражении (9):

$$\begin{aligned} \sum_{i=1}^n B_i(\tau) &= \frac{1}{\pi} \sum_{i=1}^n \int_0^T A_i \sin(\omega_i t + \varphi_i) \cdot A_i \sin[\omega_i(t + \tau) + \varphi_i] dt = \\ &= \sum_{i=1}^n \left\{ \frac{A_i^2}{2} \cos \omega_i \tau - \frac{A_i^2}{\omega_i T} \cdot \frac{\sin \omega_i T \cdot \cos[\omega_i(T + \tau) + 2\varphi_i]}{2} \right\}, \end{aligned} \quad (10)$$

при $T \rightarrow \infty$

$$\sum_{i=1}^n B_i(\tau) \rightarrow \sum_{i=1}^n \frac{A_i^2}{2} \cos \omega_i \tau.$$

Второе слагаемое в выражении (10) является погрешностью $|\delta_2|$,

обусловленной конечностью времени наблюдения T . Для i -ой составляющей

$$\delta_2 = \frac{A_i^2}{\omega_i T} \frac{\sin \omega_i T \cdot \cos[\omega_i(T + \tau) + 2\varphi_i]}{2}. \quad (II)$$

В худшем случае при $\omega_i = \omega_{\max} = \omega_{\text{от.}}$, где $\omega_{\text{от.}}$ - круговая частота основного тона, выражение для огибающей δ записывается в виде

$$|\delta_2| \leq \frac{A_i^2}{2\omega_{\text{от.}} T}.$$

Относительная погрешность ϵ_2 (по сравнению с амплитудой колебаний первого слагаемого из выражения (10)) равна

$$|\epsilon_2| \leq \frac{1}{\omega_{\text{от.}} T}.$$

Так как $\omega_{\text{от.}} = \frac{2\pi}{T_{\text{от.}}}$,

где $T_{\text{от.}}$ - период основного тона,
то

$$|\epsilon_2| \leq \frac{0,16 T_{\text{от.}}}{T}, \quad (12)$$

где T - время наблюдения.

Рассмотрим второе и третье слагаемые в выражении (9):

$$\begin{aligned} \sum_{i,j=1}^n B_{ij}(\tau) &= \frac{1}{\pi} \sum_{i,j=1}^n A_i A_j \left\{ \frac{1 - \cos(\omega_i + \omega_j)T}{2(\omega_i + \omega_j)} + \frac{1 - \cos(\omega_i - \omega_j)T}{2(\omega_i - \omega_j)} \right\} (A \cdot \sin \omega_j \tau + \\ &+ C \cos \omega_j \tau) + \left[\frac{\sin(\omega_i + \omega_j)T}{2(\omega_i + \omega_j)} + \frac{\sin(\omega_i - \omega_j)T}{2(\omega_i - \omega_j)} \right] (B \cos \omega_j \tau + D \sin \omega_j \tau) + \\ &+ \left[\frac{\sin(\omega_i - \omega_j)T}{2(\omega_i - \omega_j)} - \frac{\sin(\omega_i + \omega_j)T}{2(\omega_i + \omega_j)} \right] (A \cos \omega_j \tau + D \sin \omega_j \tau) + \\ &+ \left[\frac{1 - \cos(\omega_i + \omega_j)T}{2(\omega_i + \omega_j)} - \frac{1 - \cos(\omega_i - \omega_j)T}{2(\omega_i - \omega_j)} \right] (D \cos \omega_j \tau - B \sin \omega_j \tau), \end{aligned} \quad (13)$$

где

$i \neq j$;

$$A = \cos \varphi_i \cdot \cos \varphi_j;$$

$$B = \cos \left(\frac{\pi}{2} - \varphi_i \right) \cos \left(\frac{\pi}{2} - \varphi_j \right);$$

$$C = \cos \varphi_i \cdot \cos \left(\frac{\pi}{2} - \varphi_j \right);$$

$$D = \cos \left(\frac{\pi}{2} - \varphi_i \right) \cdot \cos \varphi_j.$$

Выражение для $\sum_{i,j=1}^n B_{ij}(\tau)$ будет аналогичным выражению (13), если поменять местами индексы i и j .

Как видно из (13), с увеличением времени наблюдения T коррелятивные связи между гармоническими составляющими затухают. При $T \rightarrow \infty$ автокорреляционная функция суммы гармонических колебаний равна сумме автокорреляционных функций составляющих. При ограниченном времени наблюдения имеют место взаимно корреляционные связи между гармоническими составляющими, вносящие искажения в функцию автокорреляции сложного периодического сигнала. Для количественной оценки этих искажений рассмотрим один из частных случаев.

Пусть в выражении (13) $A = 1$. Тогда $B = C = D = 0$ и

$$\begin{aligned} \sum_{i,j=1}^n B_{ij}(\tau) &= \sum_{i,j=1}^n [B_{ij}(\tau) + B_{ji}(\tau)] = \sum_{i,j=1}^n \frac{A_i A_j}{T} \left\{ \frac{1 - \cos(\omega_i + \omega_j)T}{2(\omega_i + \omega_j)} + \frac{1 - \cos(\omega_i - \omega_j)T}{2(\omega_i - \omega_j)} \right\} \\ &\times \sin \omega_i \tau + \left[\frac{\sin(\omega_i - \omega_j)T}{2(\omega_i - \omega_j)} - \frac{\sin(\omega_i + \omega_j)T}{2(\omega_i + \omega_j)} \right] (\cos \omega_i \tau + \cos \omega_j \tau) + \left[\frac{-\cos(\omega_i + \omega_j)T + 1}{2(\omega_i + \omega_j)} - \right. \\ &\left. - \frac{1 - \cos(\omega_i - \omega_j)T}{2(\omega_i - \omega_j)} \right] \sin \omega_i \tau \}, \quad (I4) \end{aligned}$$

где $i \neq j$.

В процессе суммирования перебираются все i и j , т.е. рассматриваются случаи $i > j$ и $i < j$. В результате чётные функции, которые делятся на величину $2(\omega_i - \omega_j)$, скомпенсируются, и выражение (I4) примет вид:

$$\begin{aligned} \sum_{i,j=1}^n B_{ij}(\tau) &= \sum_{i,j=1}^n \frac{A_i A_j}{T} \left\{ \frac{1 - \cos(\omega_i + \omega_j)T}{2(\omega_i + \omega_j)} (\sin \omega_i \tau + \sin \omega_j \tau) + \right. \\ &\left. + \left[\frac{\sin(\omega_i - \omega_j)T}{2(\omega_i - \omega_j)} - \frac{\sin(\omega_i + \omega_j)T}{2(\omega_i + \omega_j)} \right] (\cos \omega_i \tau + \cos \omega_j \tau) \right\}, \quad (I5) \end{aligned}$$

где $i \neq j$.

Это выражение описывает затухающую (с увеличением T) колебательную функцию.

Для определенности положим $A_i = A_j$. Так как для речевых сигналов $n \gg 1$, то можно считать, что ω_i и ω_j проходят одни и те же значения, т.е. можно их считать равными для всех членов, за исключением члена

$$\frac{\sin(\omega_i - \omega_j)T}{2(\omega_i - \omega_j)}$$

тогда

$$\sum_{i,j=1}^n B_{ij}(\tau) \approx \sum_{i,j=1}^n \frac{2A_i^2}{T} \left\{ \frac{1 - \cos 2\omega_i T}{2\omega_i} \sin \omega_i T + \left[\frac{\sin(\omega_i - \omega_j)T}{2(\omega_i - \omega_j)} - \frac{\sin 2\omega_i}{2\omega_i} \right] \cos \omega_i \tau \right\}.$$

Чтобы оценить верхний предел погрешности δ_3 , допустим, что

$$\sin \omega_i \tau = \cos \omega_i \tau \approx 0,7; \quad 1 - \cos 2\omega_i T = 2;$$

$$\sin(\omega_i - \omega_j)T = 1; \quad \sin 2\omega_i T = 0,$$

так как $\cos 2\omega_i T = -1$; ω_i заменим на ω ср. в смысле (4a), а $(\omega_i - \omega_j)$ — на $0,7 \omega$ ср. (Здесь коэффициент 0,7 появляется вследствие того, что в разности $(\omega_i - \omega_j)$ вес нижних частот увеличивается по линейному закону).

В результате

$$|\delta_3| \leq \frac{1,4 \cdot 10^{-3}}{T} \sum_{i=1}^n \frac{A_i^2}{\omega_i^2}, \quad (I6)$$

а относительная погрешность ε_3 равна

$$|\varepsilon_3| \leq \frac{1,4 \cdot 10^{-3}}{T}, \quad (I7)$$

где T — время наблюдения в секундах;

ε_3 — величина безразмерная, так как в формуле (I7) в числителе подставлено значение величины T ср. в сек. Заметим, что эта погрешность определена для худшего случая, поэтому математическое ожидание погрешности меньше, чем величина, определяемая по формуле (I7).

Рассмотрение других частных случаев привело к результатам, близким к (I7).

3. Погрешность расчета спектра. Допустим, что функция корреляции рассчитана с достаточно малой погрешностью, тогда

$$B_i(\tau) = \frac{A_i^2}{2} \cos \omega_i \tau, \quad (I8)$$

и

$$G(\omega) \approx \frac{2}{\pi} \int_{\tau_0}^{\tau_0} B_i(\tau) \cos \omega \tau d\tau, \quad (I9)$$

где τ_0 — интервал времени, для которого рассчитана функция корреляции. Подставив (I8) в (I9), после соответствующих преобразований, получим:

Для частот $\omega = \omega_i$:

$$G(\omega) = \sum_{i=1}^n \frac{A_i^2}{\pi} \left(\frac{\varepsilon_0}{2} + \frac{\sin 2\omega_i \varepsilon_0}{4\omega_i} \right), \quad (20)$$

при $\varepsilon_0 \rightarrow \infty$

$$G(\omega) \rightarrow \sum_{i=1}^n \frac{A_i^2 \varepsilon_0}{2\pi}. \quad (20a)$$

При ограниченном ε_0 второе слагаемое вносит погрешность в расчет $G(\omega)$.

Для i -й составляющей абсолютная погрешность δ_4 равна

$$\delta_4 = \frac{A_i^2}{4\pi\omega_i} \sin 2\omega_i \varepsilon_0.$$

Эта погрешность убывает с ростом частоты. Относительная погрешность

$$|\varepsilon_4| = \frac{\delta_4 \cdot 2\pi}{A_i^2 \varepsilon_0} = \frac{\sin 2\omega_i \varepsilon_0}{2\omega_i \varepsilon_0}. \quad (21)$$

Огибающую находим, положив $\sin 2\omega_i \varepsilon_0 = \pm 1$,

$$|\varepsilon_4| \leq \frac{1}{2\omega_i \varepsilon_0}.$$

Наибольшим искажениям подвергаются низкочастотные составляющие спектра. Худший случай: $\omega_i = \omega_{min} = \omega_{ot} = \frac{2\pi}{T_{ot}}$. Отсюда

$$|\varepsilon_4| \leq \frac{0,08 T_{ot}}{\varepsilon_0}. \quad (22)$$

Для частот $\omega \neq \omega_i$:

$$G^*(\omega) = \frac{1}{\pi} \sum_{i=1}^n A_i^2 \left[\frac{\sin(\omega_i - \omega) \varepsilon_0}{2(\omega_i - \omega)} + \frac{\sin(\omega_i + \omega) \varepsilon_0}{2(\omega_i + \omega)} \right]. \quad (23)$$

Чтобы найти затухание при разных расстройках $\Delta\omega = \omega_i - \omega$, разделим выражение для i -й составляющей из (23) на таковое из (20a). Тогда погрешность примет вид:

$$|\varepsilon_5| = f(\omega, \varepsilon_0) = \frac{\sin(\omega_i - \omega) \varepsilon_0}{(\omega_i - \omega) \varepsilon_0} + \frac{\sin(\omega_i + \omega) \varepsilon_0}{(\omega_i + \omega) \varepsilon_0}. \quad (24)$$

В физическом смысле $f(\omega, \varepsilon_0)$ представляет собой аналитическое выражение характеристики магнитного фильтра. Так как $\omega_i - \omega = \Delta\omega$, а $\omega_i + \omega = 2\omega_i - \Delta\omega$, то

$$f(\omega, \varepsilon_0) = \frac{\sin \Delta\omega \varepsilon_0}{\Delta\omega \varepsilon_0} + \frac{\sin(2\omega_i - \Delta\omega) \varepsilon_0}{(2\omega_i - \Delta\omega) \varepsilon_0}. \quad (25)$$

В области верхних частот, т.е. при $2\omega_i \gg \Delta\omega$,

$$f(\omega, \varepsilon_0) \approx \frac{\sin \Delta\omega \varepsilon_0}{\Delta\omega \varepsilon_0}. \quad (26)$$

Таким образом, параметры фильтра определяются временем интегрирования.

Выражение для огибающей

$$|\varepsilon_5| = |f(\omega, \varepsilon_0)| \leq \frac{1}{\Delta\omega \varepsilon_0}. \quad (27)$$

Здесь $\Delta\omega$ выбирается равной расстоянию по оси частот между соседними спектральными составляющими. Для речевого сигнала

$$\Delta\omega = \omega_{ot} = \frac{2\pi}{T_{ot}},$$

откуда

$$|\varepsilon_5| \leq \frac{0,16 \cdot T_{ot}}{T}. \quad (28)$$

В общем случае

$$\varepsilon_5 = \frac{\sin \Delta\omega \varepsilon_0}{\Delta\omega \varepsilon_0} + \frac{\sin(2\omega_i - \Delta\omega) \varepsilon_0}{(2\omega_i - \Delta\omega) \varepsilon_0},$$

в низкочастотной части спектра $\Delta\omega = \omega_{ot}$, $\omega_i = 2\omega_{ot}$. Тогда

$$|\varepsilon_5| = \frac{\sin \omega_{ot} \varepsilon_0}{\omega_{ot} \varepsilon_0} + \frac{\sin 3\omega_{ot} \varepsilon_0}{3\omega_{ot} \varepsilon_0}, \quad |\varepsilon_5| \leq \frac{1,2}{\omega_{ot} \varepsilon_0}. \quad (29)$$

Ближайшая спектральная составляющая вносит погрешность $|\varepsilon_5|_1^*$, а 2-я, 3-я и последующие составляющие вносят погрешности соответственно:

$$|\varepsilon_5|_2^* \approx \frac{1,2}{2\omega_{ot} \varepsilon_0}, \quad |\varepsilon_5|_3^* \approx \frac{1,2}{3\omega_{ot} \varepsilon_0} \text{ и т.д.}$$

При $2\pi \omega_i \varepsilon_0 \gg \pi$, т.е. $20 \text{ мсек} > T > 10 \text{ мсек}$, где $T = 2\varepsilon_0$ (наиболее часто встречающийся на практике случай), погрешности, вносимые чётными и нечётными составляющими имеют противоположные знаки.

Общая погрешность для низких частот (учитываются погрешности, вносимые только более высокочастотными составляющими):

$$|\varepsilon_5| = |\varepsilon_5|_1^* - |\varepsilon_5|_2^* + |\varepsilon_5|_3^* - |\varepsilon_5|_4^* + \dots = \\ = \frac{1,2}{\omega_{ot} \varepsilon_0} \left[1 - \frac{1}{2} + \frac{1}{3} - \frac{1}{4} + \dots \right] = \frac{1,2}{\omega_{ot} \varepsilon_0} \ln 2 \approx \frac{13,2 \cdot 10^{-4}}{\varepsilon_0}. \quad (29a)$$

При рассмотрении формул (4), (II), (I3), (21) и (25) видно, что все погрешности носят колебательный, затухающий во времени характер, т.е. периодически принимают значение, равное нулю.

Это происходит при соблюдении, например, условий

$$T \cdot \omega_{ot} = 2\kappa\pi,$$

где $\kappa = 1, 2, 3, \dots$

$$\tau_o = \frac{T}{2}.$$

При $K=1$ можно получить огибающую спектра, близкую к идеальной (начиная с частот 1 кГц и выше, где соблюдается условие $2\omega_i > \Delta\omega$), но при условии соблюдения требований теоремы Ко-тельникова, т.е. когда число спектральных линий достаточно для восстановления спектральной функции $G(\omega)$ с помощью ряда:

$$\sum_{i=1}^n G(\omega_i) \cdot \frac{\sin(\omega_i - \omega)\tau_o}{(\omega_i - \omega)\tau_o}$$

При увеличении K появляются пики на частотах, соответствующих гармоническим составляющим, и при $K \rightarrow \infty$ спектр стремится к линейчатому (рис. I). При выборе времени интегрирования от t до $t + T$ приходится обрабатывать участок функции от t до $t + (T + \tau_o)$ в связи с выбранным способом расчета функции корреляции.

При несоблюдении условия $T = K\tau_{ot}$ появляются погрешности, оценить которые можно по формулам (5), (12), (17), (22), (28) и (29).

Результаты расчета спектра синтезированного сигнала с известным спектром для случаев 1) $\varphi_i = 0$ и 2) $\varphi_i = 30^\circ$ приведены на рис. 2. При $T = \frac{1}{K}\tau_{ot}$ сдвиг фазы не вызывает изменения спектра, так как погрешность, определяемая фазами составляющих (см. (13), (II)), равна нулю. При $T \neq \frac{1}{K}\tau_{ot}$ сдвиг фазы приводит к изменению спектра, что вызывается погрешностями расчета из-за ограничения времени наблюдения.

Выводы. Приближенные значения погрешностей, возникающих на различных этапах расчета спектральной функции речевых сигналов, определяются по следующим формулам:

Этап расчета	m	$B_i(\tau)$	$\sum_{i=1}^n B_{\delta i}(\tau)$	$G(\omega_i)$	$\Delta G(\omega \neq \omega_i)$
Погрешность	$ e_1 \leq \frac{4 \cdot 10^{-4}}{T}$	$ e_2 \leq \frac{0,16\tau_{ot}}{T}$	$ e_3 \leq \frac{1,4 \cdot 10^{-3}}{T}$	$ e_4 \leq \frac{0,08\tau_{ot}}{T}$	$ e_5 \leq \frac{0,13\tau_{ot}}{\tau_o}$

Здесь T, τ_o и τ_{ot} — в секундах. В формулах для e_3 и e_5 в числителе подставлено численное значение величины τ_{ϕ} и τ_{ot} .

Для подсчета суммарной погрешности необходимо проделать дополнительные преобразования.

1. Погрешность расчета $B(\tau)$, обусловленная погрешностью e_1 ,

$$\Delta B_{\varepsilon_1}(\tau) \approx \frac{1}{\tau_o} \int_0^T \left\{ f(t)e_1 + f(t+\tau) \cdot e_1 + e_1^2 \right\} dt,$$

$$|e_2| = \frac{\Delta B_{\varepsilon_1}(\tau)_{max}}{B_{\varepsilon_1}(\tau)_{max}} \approx \frac{e_1^2(T+2)}{T} \approx \frac{32 \cdot 10^{-8}}{T^3}, \quad (29a)$$

так как $\tau \gg T_{sec}$.

2. Суммарная погрешность расчета функции корреляции:

$$|e_{B(\tau)}| = |e_2| + |e_2|^2 + \ln 2 |e_3|,$$

где $\ln 2$ появляется по тем же причинам, что и при расчете $|e_5|$ (см. вывод формулы (29a)).

для $\tau_{ot} \leq 10$ мсек

$$|e_{B(\tau)}| \leq \frac{2,56 \cdot 10^{-3}}{T} + \frac{32 \cdot 10^{-8}}{T^3}. \quad (29b)$$

3. Погрешность расчета $G(\omega)$, обусловленная погрешностью $e_{B(\tau)}$,

$$|\Delta G(\omega)|_{OTN} = \frac{1}{\tau_o} \int_0^{\tau_o} e_{B(\tau)} \cos \omega \tau d\tau \leq \frac{|e_{B(\tau)}|}{\omega \tau_o} \sin \omega \tau_o$$

Огибающая погрешности $|\Delta G(\omega)|_{OTN}$ при $\tau_o = \frac{T}{2}$ описывается выражением

$$|\Delta G(\omega)|_{OTN} \leq \frac{8 \cdot 10^{-6}}{T^2} + \frac{10^{-9}}{T^4}. \quad (29c)$$

4. Суммарная погрешность расчета спектральной функции $|e_{G(\omega)}|$ при $T \leq 10$ мсек будет

$$|e_{G(\omega)}| = |e_4| + |e_5| + |\Delta G(\omega)|_{OTN} \leq \frac{4,2}{T} + \frac{8}{T^2} + \frac{1000}{T^4}, \quad (29d)$$

где T — время наблюдения в миллисекундах.

Эта формула даёт верхний предел погрешности для $f_{ot} = 100$ Гц. Общее выражение для погрешности $e_{G(\omega)}$ справедливо для $T \geq 1,5 \tau_{ot}$, так как в этом случае вершины функции $\frac{\sin x}{x}$ лежат на кривой $\frac{1}{x}$.

Частоте квантования речевого сигнала. Как известно, теорема отсчётов Котельникова применима к функциям с ограниченным спектром. Тогда частота отсчётов $f_{\text{кв}} = 2F_{\text{max}}$, где F_{max} — верхняя частота спектра сигнала.

При ограничении времени наблюдения спектр становится теоретически бесконечным. В этом случае можно ориентироваться на верхнюю частоту сигнала с определенной погрешностью, определяемой соотношением

$$\varepsilon_6 = \frac{\int_{-\infty}^{\omega_{\text{max}}} G(\omega) d\omega}{\int_{-\infty}^{\infty} G(\omega) d\omega} \quad (30)$$

Иначе говоря, погрешность определяется относительной энергией сигнала, приходящейся на частоты $\omega > \omega_{\text{max}}$. В этом случае для восстановления функции с помощью ряда Котельникова с заданной погрешностью нужно выполнить условие

$$f_{\text{кв}} = 2f_{\text{max}}, \text{ где } f_{\text{max}} = \frac{\omega_{\text{max}}}{2\pi}. \quad (30a)$$

Рассмотрим вопрос о взаимосвязи ω_{max} и времени наблюдения для майинного фильтра. Пусть имеется синусоидальный нормированный по амплитуде сигнал с частотой ω_i , который мы анализируем в течение времени τ_0 . Спектральная функция такого сигнала имеет вид

$$G(\omega)_{\text{отн}} = \frac{\sin(\omega - \omega_i)\tau_0}{(\omega - \omega_i)\tau_0} + \frac{\sin(\omega + \omega_i)\tau_0}{(\omega + \omega_i)\tau_0}. \quad (31)$$

Полная энергия сигнала

$$G_{\text{общ}} = \int_0^{\infty} G(\omega) d\omega = \int_0^{\infty} \left[\frac{\sin(\omega - \omega_i)\tau_0}{(\omega - \omega_i)\tau_0} + \frac{\sin(\omega + \omega_i)\tau_0}{(\omega + \omega_i)\tau_0} \right] d\omega.$$

Производя замену переменных $x = (\omega - \omega_i)\tau_0$, $y = (\omega + \omega_i)\tau_0$, получим

$$G_{\text{общ}} = \frac{1}{\tau_0} \left[\int_{-\omega_i\tau_0}^0 \frac{\sin x}{x} dx + \int_0^{\infty} \frac{\sin x}{x} dx + \int_0^{\infty} \frac{\sin y}{y} dy + \left(\int_0^{\omega_i\tau_0} \frac{\sin y}{y} dy \right) \right].$$

Первое и четвертое слагаемые взаимно уничтожаются, так как функция $\frac{\sin x}{x}$ чётная.

$$G_{\text{общ}} = \frac{\pi}{\tau_0}. \quad (32)$$

Напомним, что формула (31) справедлива для $\omega \neq \omega_i$. Энергия сигнала на этих частотах убывает при увеличении τ_0 . Определим относительную погрешность следующим образом:

$$\varepsilon_6 = \frac{G_{\text{общ}} - G_{\text{акт}}}{G_{\text{общ}}}, \quad (33)$$

где $G_{\text{акт}}$ — энергия сигнала, сосредоточенная в активной полосе. Под активной полосой подразумевается полоса частот от 0 до ω_{max} , в которой сосредоточена подавляющая часть энергии сигнала [7].

Соотношение (30) можно переписать в виде:

$$\varepsilon_6 = \frac{\int_{-\infty}^{\omega_{\text{max}}} G(\omega) d\omega}{\int_{-\infty}^{\infty} G(\omega) d\omega}, \text{ где } G_1(\omega) = \begin{cases} G(\omega) & \text{при } \omega > \omega_{\text{max}}, \\ 0 & \text{при } \omega < \omega_{\text{max}}. \end{cases}$$

Ограничив спектр сигнала частотой ω_{max} , заменим реальный сигнал идеализированным со спектральной функцией.

$$G_2(\omega) = \begin{cases} G(\omega) & \text{при } \omega \leq \omega_{\text{max}}, \\ 0 & \text{при } \omega > \omega_{\text{max}}. \end{cases}$$

$$\text{Отсюда } G_1(\omega) = G(\omega) - G_2(\omega),$$

где $G(\omega)$ — спектральная функция исходного сигнала;

$G_2(\omega)$ — спектральная функция восстановленного сигнала;

$G(\omega)$ — разностная спектральная функция.

$$G_1(\omega) = \frac{2}{\pi} \int_0^{\tau_0} B_1(\tau) \cos \omega \tau d\tau = \frac{2}{\pi} \int_0^{\tau_0} B(\tau) \cos \omega \tau d\tau - \frac{2}{\pi} \int_0^{\tau_0} B_2(\tau) \cos \omega \tau d\tau = \frac{2}{\pi} \int_0^{\tau_0} [B(\tau) - B_2(\tau)] \cos \omega \tau d\tau.$$

$$\text{Отсюда } B_1(\tau) = B(\tau) - B_2(\tau).$$

Таким образом, ε_6 представляет собой относительную энергию сигнала, имеющего автокорреляционную функцию, равную разности автокорреляционных функций исходного и восстановленного сигналов. Итак,

$$\varepsilon_6 = 1 - \frac{1}{\pi} \left[\int_{-\omega_i\tau_0}^0 \frac{\sin(\omega - \omega_i)\tau_0}{(\omega - \omega_i)\tau_0} d\omega + \int_0^{\omega_i\tau_0} \frac{\sin(\omega + \omega_i)\tau_0}{(\omega + \omega_i)\tau_0} d\omega \right].$$

После замены переменных

$$\varepsilon_6 = 1 - \frac{1}{\pi} \left[\int_{-\omega_i\tau_0}^0 \frac{\sin x}{x} dx + \int_{\omega_i\tau_0}^{\infty} \frac{\sin y}{y} dy \right] = 1 - \frac{1}{\pi} \left[\int_0^{\omega_i\tau_0} \frac{\sin x}{x} dx + \int_0^{\infty} \frac{\sin y}{y} dy \right] \quad (34)$$

Зная $\omega_i\tau_0$ и допустимую ε_6 , можно по таблицам интегрального синуса $Si(x)$ определить ω_{max} и $f_{\text{кв}} = \frac{\omega_{\text{max}}}{2\pi}$.

Известно, что при $x \gg \pi$, $\int_0^x \frac{\sin y}{y} dy \approx \frac{\pi}{2}$. Это условие соблюдается для сигналов речи в области верхних

частот (а именно они определяют частоту отсчётов). Действительно, $(\omega - \omega_i)\tau_0$ имеет величину порядка π и выше. Тогда для

$$f_i \geq 5 \text{ кГц}, \quad (\omega_{\max} + \omega_i)\tau_0 \geq 200\pi.$$

Отсюда

$$|\varepsilon| \leq \frac{1}{2} - \frac{1}{\pi} \int_0^{(\omega_{\max} - \omega_i)\tau_0} \frac{\sin x}{x} dx. \quad (35)$$

При $(\omega_{\max} - \omega_i)\tau_0 \gg 1$

$$\varepsilon_0 \approx \frac{1}{\pi} \cdot \frac{\cos((\omega_{\max} - \omega_i)\tau_0)}{(\omega_{\max} - \omega_i)\tau_0}. \quad (36)$$

Для примера положим

$$\omega_i = 2\pi(6 \text{ кГц}); \quad \omega_{\max} = (6,3 \text{ кГц})2\pi; \quad \tau_0 = 10 \text{ мсек.}$$

Тогда

$$(\omega_{\max} - \omega_i)\tau_0 \approx 19 \gg 1.$$

Погрешность (36) носит периодический затухающий во времени характер.

Огибающая этой функции

$$|\varepsilon| \leq \frac{1}{\pi(\omega_{\max} - \omega_i)\tau_0} = \frac{1}{2\pi^2(f_{\max} - f_i)\tau_0}. \quad (37)$$

Практически под f_i следует понимать верхнюю граничную частоту фильтра, стоящего на входе системы, то есть $f_i = F_{\max}$, по терминологии соотношения $f_{\text{кв}} = 2F_{\max}$.

Тогда

$$|\varepsilon| \leq \frac{0,1}{\tau_0(f_{\text{кв}} - 2F_{\max})}, \quad (38)$$

$$f_{\text{кв}} \geq 2F_{\max} + \frac{0,1}{\tau_0 |\varepsilon|}. \quad (39)$$

Таким образом, частота квантования определяется не только параметрами сигнала (F_{\max}), но и методом его обработки (временем наблюдения и способом расчёта спектральной функции).

Пример: пусть $F_{\max} = 5 \text{ кГц}$, $|\varepsilon| = 0,01$,

тогда при $\tau_0 = 10 \text{ мсек}$ $f_{\text{кв}} \geq 11 \text{ кГц}$,

$\tau_0 = 20 \text{ мсек}$ $f_{\text{кв}} \geq 10,5 \text{ кГц}$.

Мы рассмотрели случай одной синусоидальной составляющей. В реальных условиях вид спектра в области частот $f > F_{\max}$ определяется не только составляющей F_{\max} , но и соседними составляющими. Тогда для $\omega_i \tau_0 > \pi$ в правой части выражения (38) появится множитель $2\pi^2$ по тем же причинам, что и при вы-

ходе формулы (29а). Таким образом, для речевых сигналов имеет место:

$$|\varepsilon| \leq \frac{0,1}{\tau_0(f_{\text{кв}} - 2F_{\max})} \quad (39a)$$

$$f_{\text{кв}} \geq 2F_{\max} + \frac{0,07}{\tau_0 |\varepsilon|}. \quad (39b)$$

Из формулы (35) видно, что погрешность носит колебательный характер с прохождением через нуль. Истолковать это можно так: имеются такие особые точки, определяющие частоту квантования, попадание в которые обеспечивает восстановление сигнала, эквивалентного исходному в том смысле, что исходный и восстановленный сигналы имеют одинаковую энергию, максимумы их спектральных функций приходятся на одни и те же частоты и величины этих максимумов равны. На рис.3 изображены спектр исходного синусоидального сигнала при ограниченном времени наблюдения (рис.3а) и случай попадания в первую и вторую особые точки (рис.3б и рис.3в, соответственно).

При увеличении номера особой точки

$$f_{\text{кв}} = 2F_{\max} + \frac{0,1}{\tau_0 |\varepsilon|}$$

Чтобы попасть в эти особые точки, нужно точно знать F_{\max} т.е. в конечном счёте частоту основного тона. Тогда можно сильно сократить обрабатываемый массив за счёт уменьшения $f_{\text{кв}}$. В речевых сигналах $f_{\text{от}}$ не является постоянной величиной, так как зависит от диктора и является носителем определенной информации, поэтому реализовать уменьшение $f_{\text{кв}}$ весьма трудно. Это применимо для спектров с постоянным шагом по оси частот между соседними составляющими.

Для синусоидального сигнала $\sin \omega t$ I-я особая точка $(\omega_{\max} - \omega_i)\tau_0 \approx 1,92$, откуда

$$f_{\text{кв}} \approx 2F_{\max} + \frac{0,611}{\tau_0}. \quad (40)$$

В случае сложного сигнала (т.е. при наличии нескольких спектральных составляющих) получить $|\varepsilon| = 0$ невозможно, так как особые точки разных составляющих не совпадают между собой.

В этом случае при $|\varepsilon| \leq 2\%$ $f_{\text{кв}} \geq 2F_{\max} + \frac{0,611}{\tau_0}$, (41)

а при $|\varepsilon| \leq 0,9\%$ $f_{\text{кв}} \geq 2F_{\max} + \frac{1,56}{\tau_0}$. (42)

Для сравнения приведем значения $f_{\text{кв}}$, выведенные из (39), при $|\varepsilon_0| \leq 2\%$

$$f_{\text{кв}} \geq 2F_{\max} + \frac{5}{\tau_0}, \quad (43)$$

при $|\varepsilon_0| \leq 0,9\%$

$$f_{\text{кв}} \geq 2F_{\max} + \frac{10}{\tau_0}. \quad (44)$$

Особенно значительное уменьшение $f_{\text{кв}}$ достигается при малом τ_0 .

Пример: пусть имеется сигнал с верхней частотой, равной F_{\max} , время наблюдения $\tau_0 = \frac{4}{F_{\max}}$. Тогда из (41) и (42) получим соответственно

для $|\varepsilon_0| \leq 2\% f_{\text{кв}} = 2,15 F_{\max}$,

для $|\varepsilon_0| \leq 0,9\% f_{\text{кв}} = 2,39 F_{\max}$.

Из (43) и (44) получим соответственно

для $|\varepsilon_0| \leq 2\% f_{\text{кв}} = 3,25 F_{\max}$,

для $|\varepsilon_0| \leq 0,9\% f_{\text{кв}} = 4,5 F_{\max}$.

В особые точки можно попасть, оставив $f_{\text{кв}}$ постоянной, но изменив τ_0 . Эту методику можно использовать для значительного уменьшения времени наблюдения при жёстко заданной частоте квантования.

Этот путь более приемлем для обработки сигналов на ЭВМ, так как $f_{\text{кв}}$ обычно постоянна и задаётся входным преобразователем, а τ_0 можно менять в процессе решения задачи.

В общем случае частота квантования при заданной погрешности $|\varepsilon_0|$ определяется по формулам (39), (39б).

В заключение отметим, что спектральный анализ речевых сигналов с помощью ЭВМ в отличие от аналоговой аппаратуры позволяет учесть погрешности и соответствующим подбором времени наблюдения уменьшить их до требуемого уровня.

Л и т е р а т у р а

- I. Загоруйко Н.Г. Об обмене устной информацией между человеком и вычислительными системами. Сб. "Вычислительные системы", Изд. ИМ СО АН СССР, 10, 1963.
2. Бриллюэн Л. Наука и теория информации. ФМ, 1962.
3. Железин Н.А. Энергетические характеристики и интервал корреляции стохастических сигналов, в частности - речевых сигналов. Вопросы статистики речи (материалы совещания ЛГУ им. А.А.Иданова, 1958 г.).
4. Железин Н.А. Интервал временной корреляции сигналов и его связь с параметрами спектра мощности. Электросвязь, № 15, 1961 г.
5. Харкевич А.А. Спектры и анализ. ФМ, 1962 г.
6. Кутин Б.Н. О вычислении корреляционной функции стационарного случайного процесса по экспериментальным данным. Автоматика и телемеханика, т. ХШ, № 3, 1957 г.
7. Агеев Д.В. Активная полоса частотного спектра функции времени. Труды Горьковского политехнического института, № I, 1955 г.

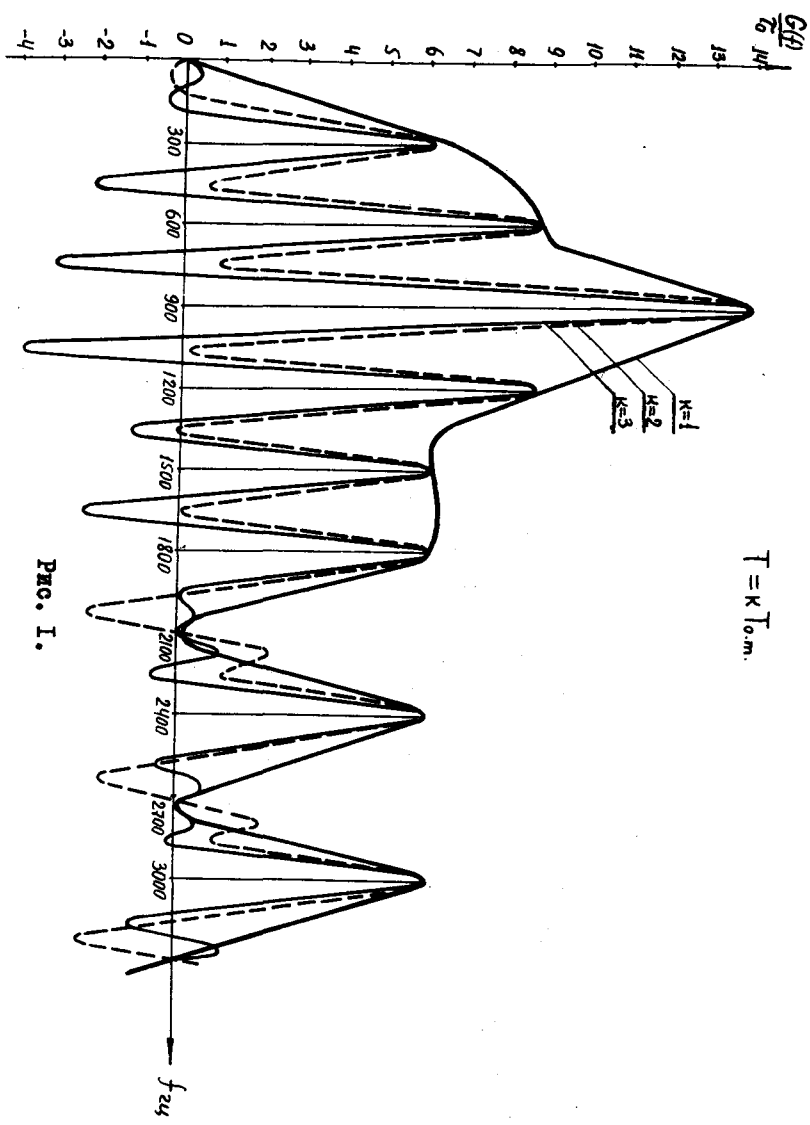
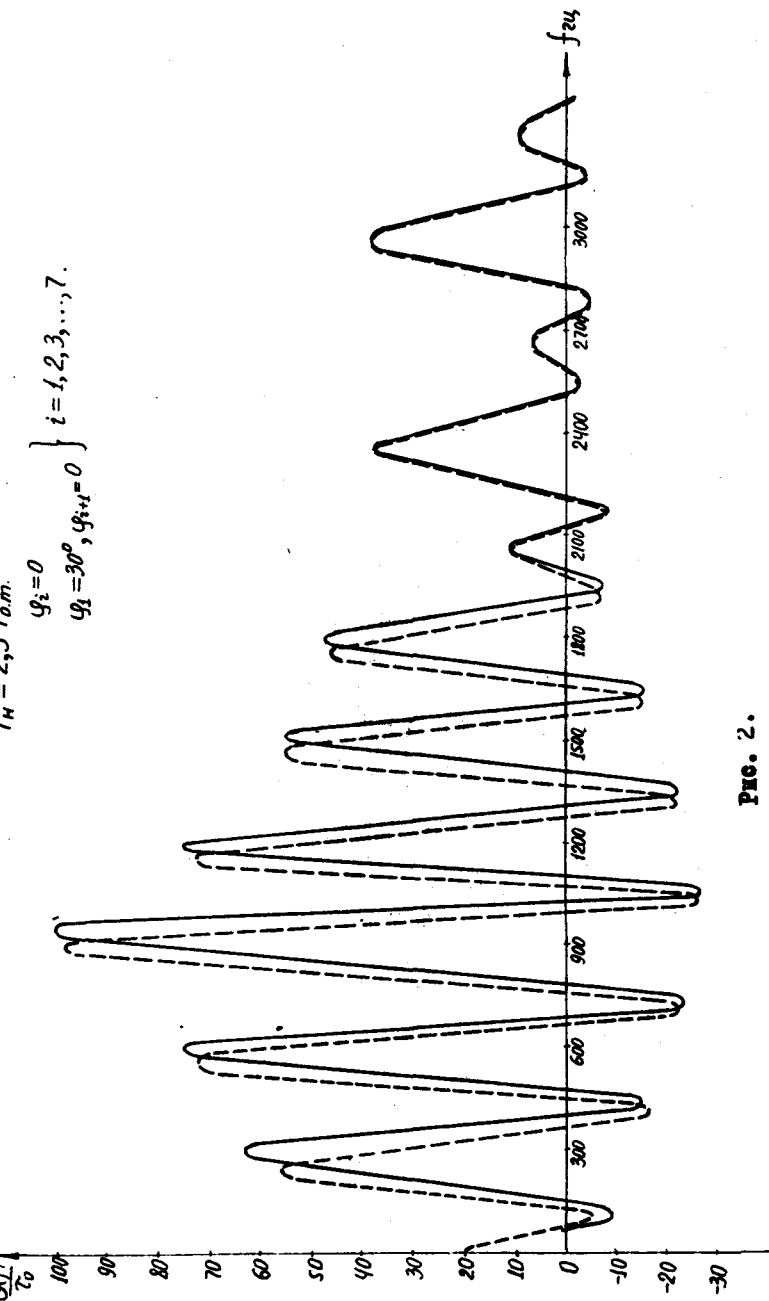


Рис. I.

二二四

Sister Ottman

$$T_H = 2,3 \text{ } T_{\text{cm}}. \quad \left. \begin{array}{l} g_i=0 \\ g_i=30^\circ, g_{i+1}=0 \end{array} \right\} i=1,2,3,\dots,7.$$



Page 2.

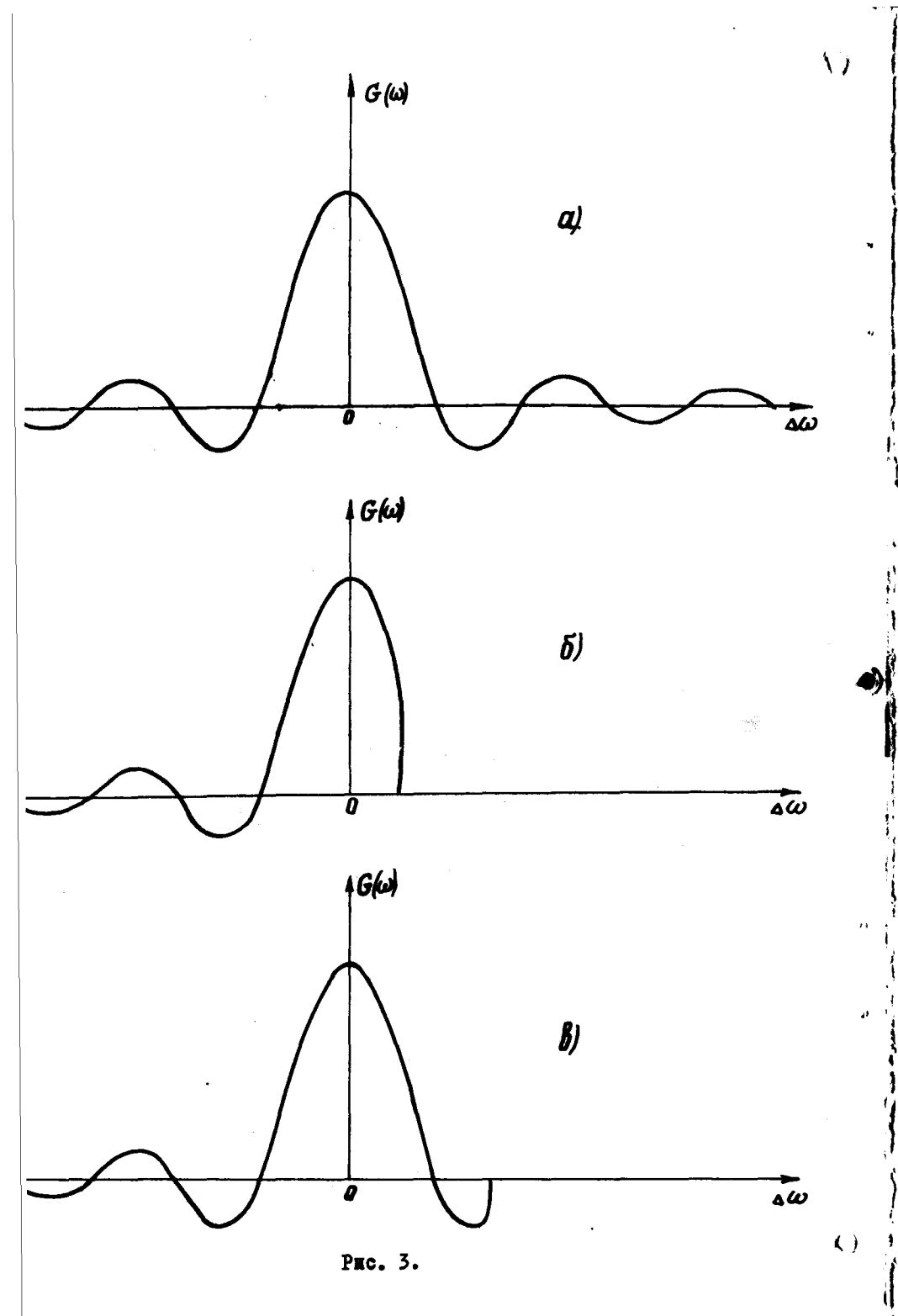


Рис. 3.